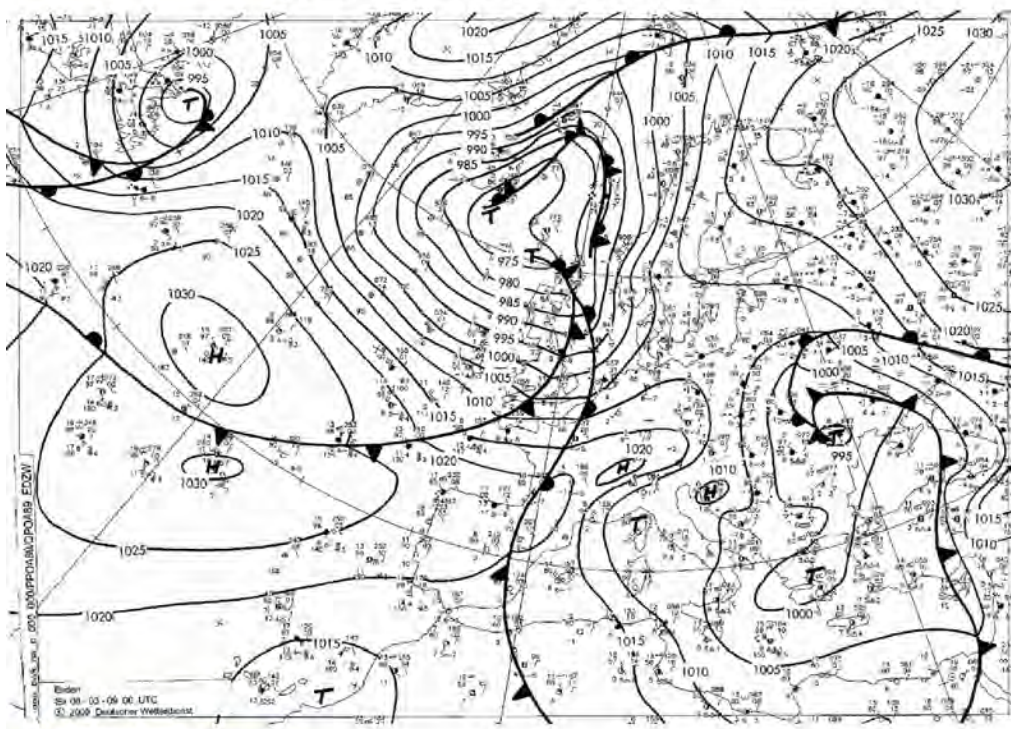


<http://www.wetter3.de/fax>

(a) Situation météorologique le 28 février 2009



<http://www.wetter3.de/fax>

(b) Situation météorologique le 8 mars 2009

Figure 1: Situation météorologique en Europe le 28 février 2009 (situation stable) et le 8 mars 2009 (situation dynamique)

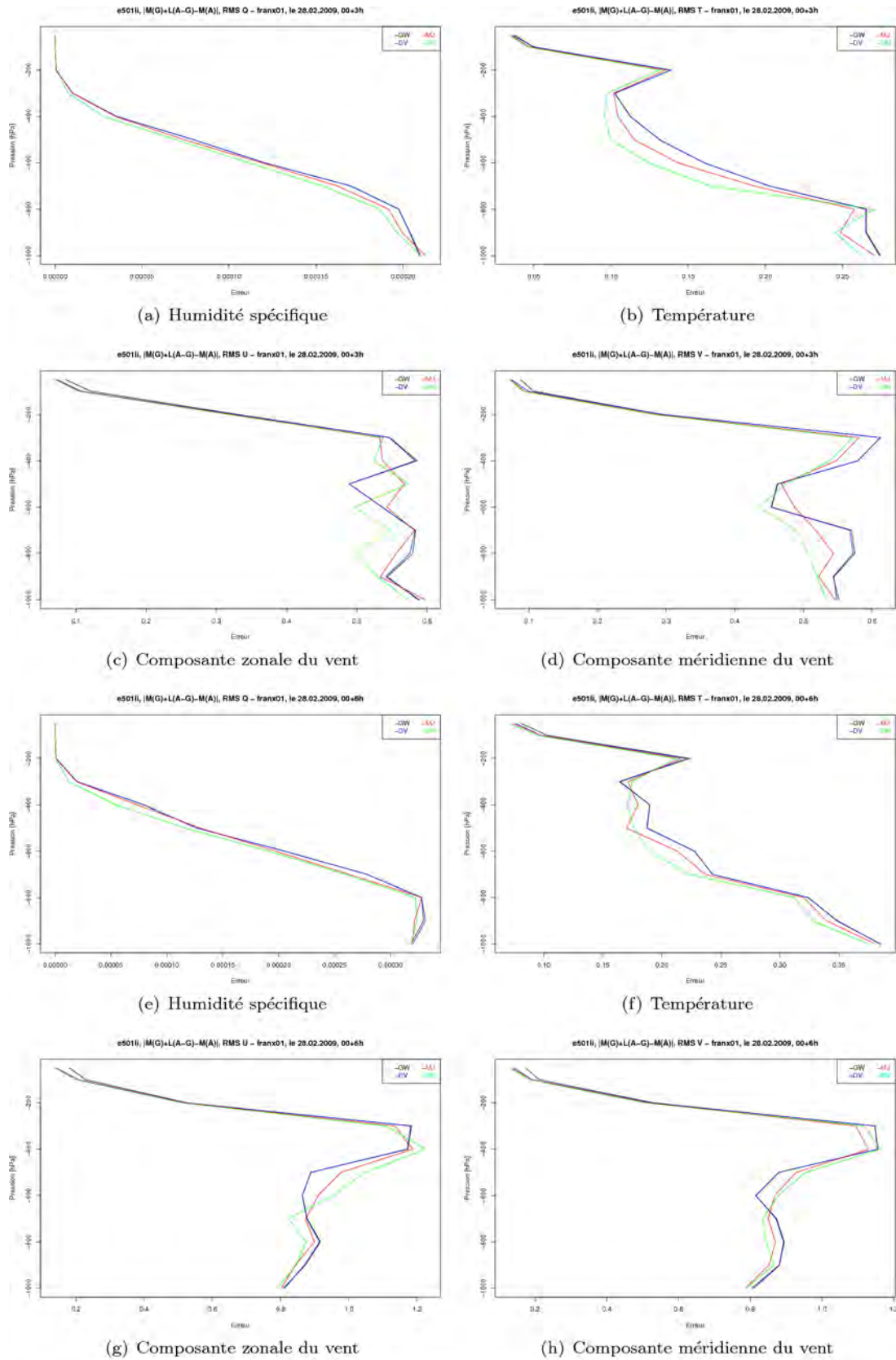


Figure 2: Profils verticaux de RMS obtenus pour l'humidité spécifique (a), la température (b), la composante zonale (c) et méridienne (d) du vent sur le domaine franx01, le 28.02.2009, 00+3h et 00+6h (e,f,g,h).

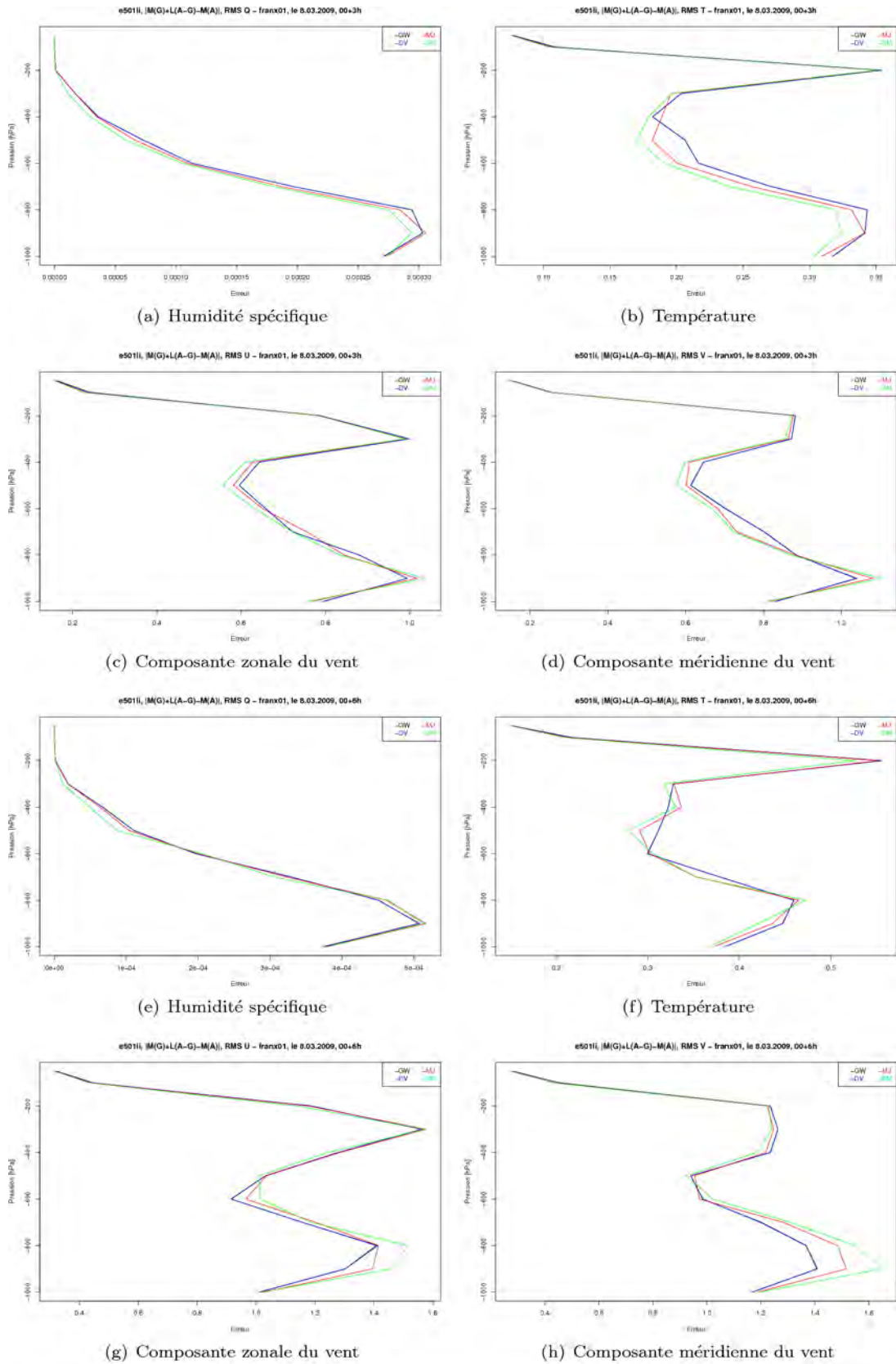


Figure 3: Profils verticaux de RMS obtenus pour l'humidité spécifique (a), la température (b), la composante zonale (c) et méridienne (d) du vent sur le domaine franx01, le 8.03.2009, 00+3h et 00+6h (e,f,g,h).

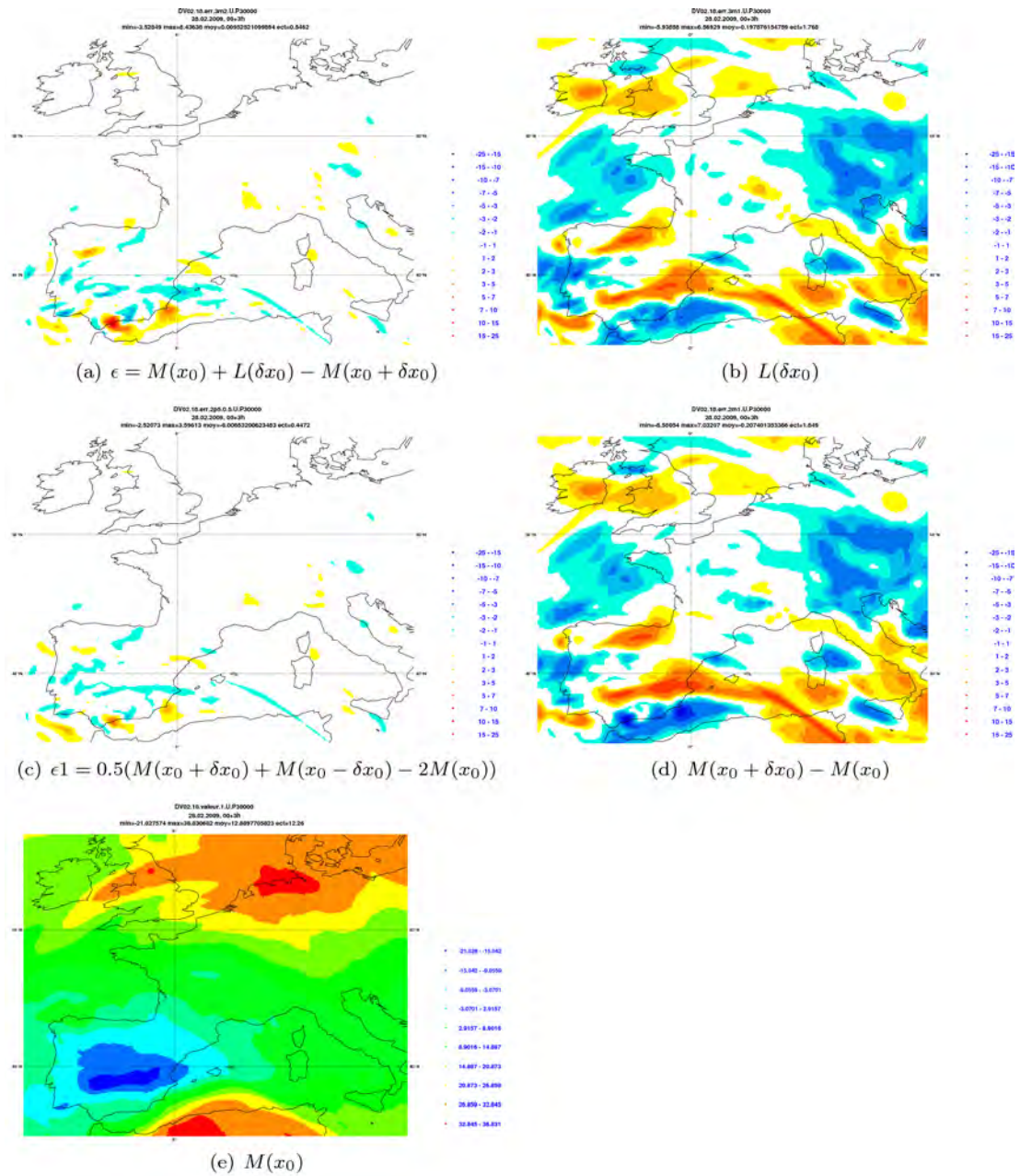


Figure 4: Composante zonale du vent sur le domaine franx01, au niveau 300 hPa, exp. DV, le 28.02.2009, 00+3h, pour $\epsilon = M(x_0) + L(\delta x_0) - M(x_0 + \delta x_0)$ (a), $L(\delta x_0)$ (b), $\epsilon_1 = 0.5(M(x_0 + \delta x_0) + M(x_0 - \delta x_0)) - 2M(x_0)$ (c), $M(x_0 + \delta x_0) - M(x_0)$ (d), $M(x_0)$ (e).

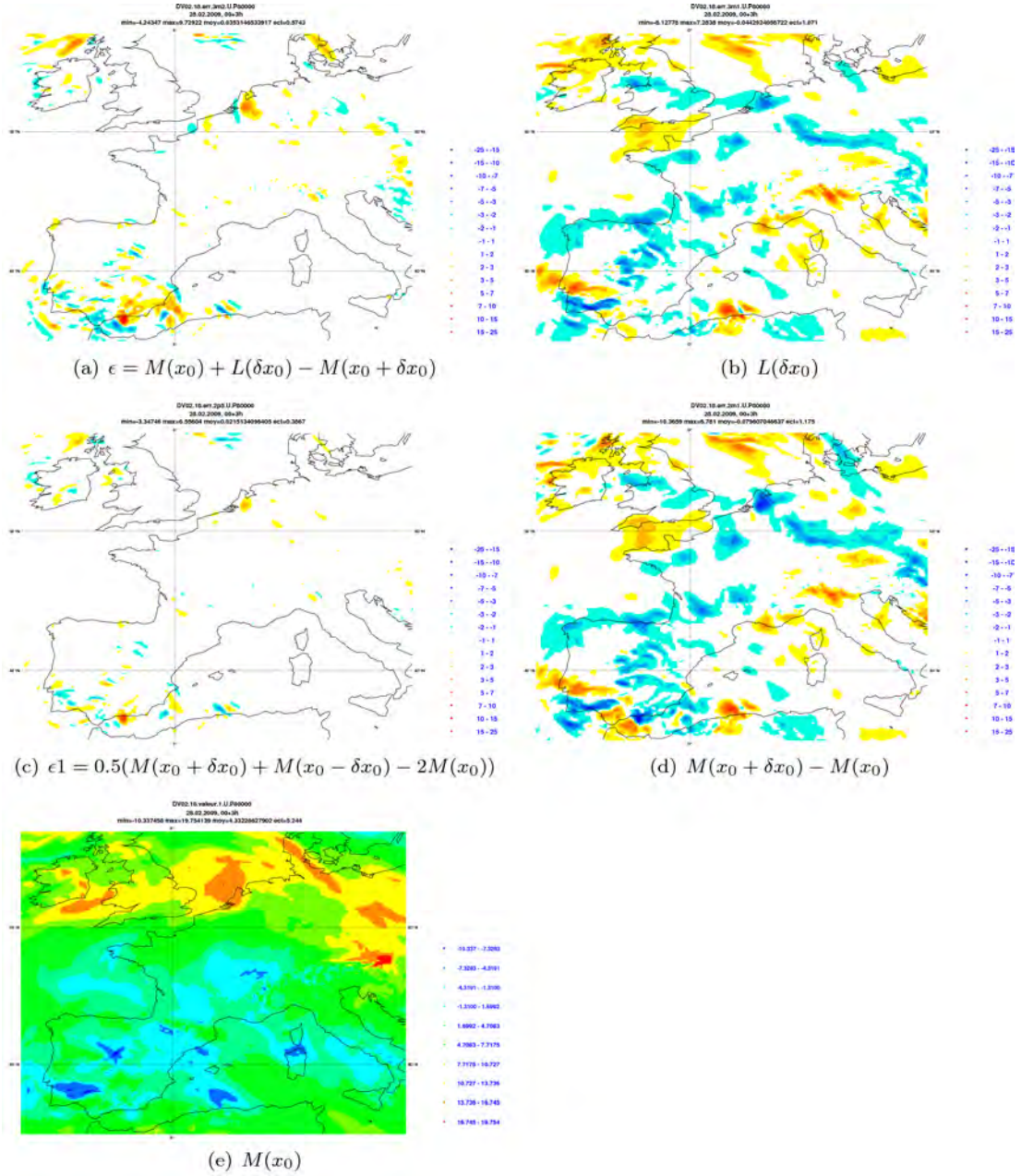


Figure 5: Composante zonale du vent sur le domaine franx01, au niveau 800 hPa, exp. DV, le 28.02.2009, 00+3h, pour $\epsilon = M(x_0) + L(\delta x_0) - M(x_0 + \delta x_0)$ (a), $L(\delta x_0)$ (b), $\epsilon_1 = 0.5(M(x_0 + \delta x_0) + M(x_0 - \delta x_0)) - 2M(x_0)$ (c), $M(x_0 + \delta x_0) - M(x_0)$ (d), $M(x_0)$ (e).

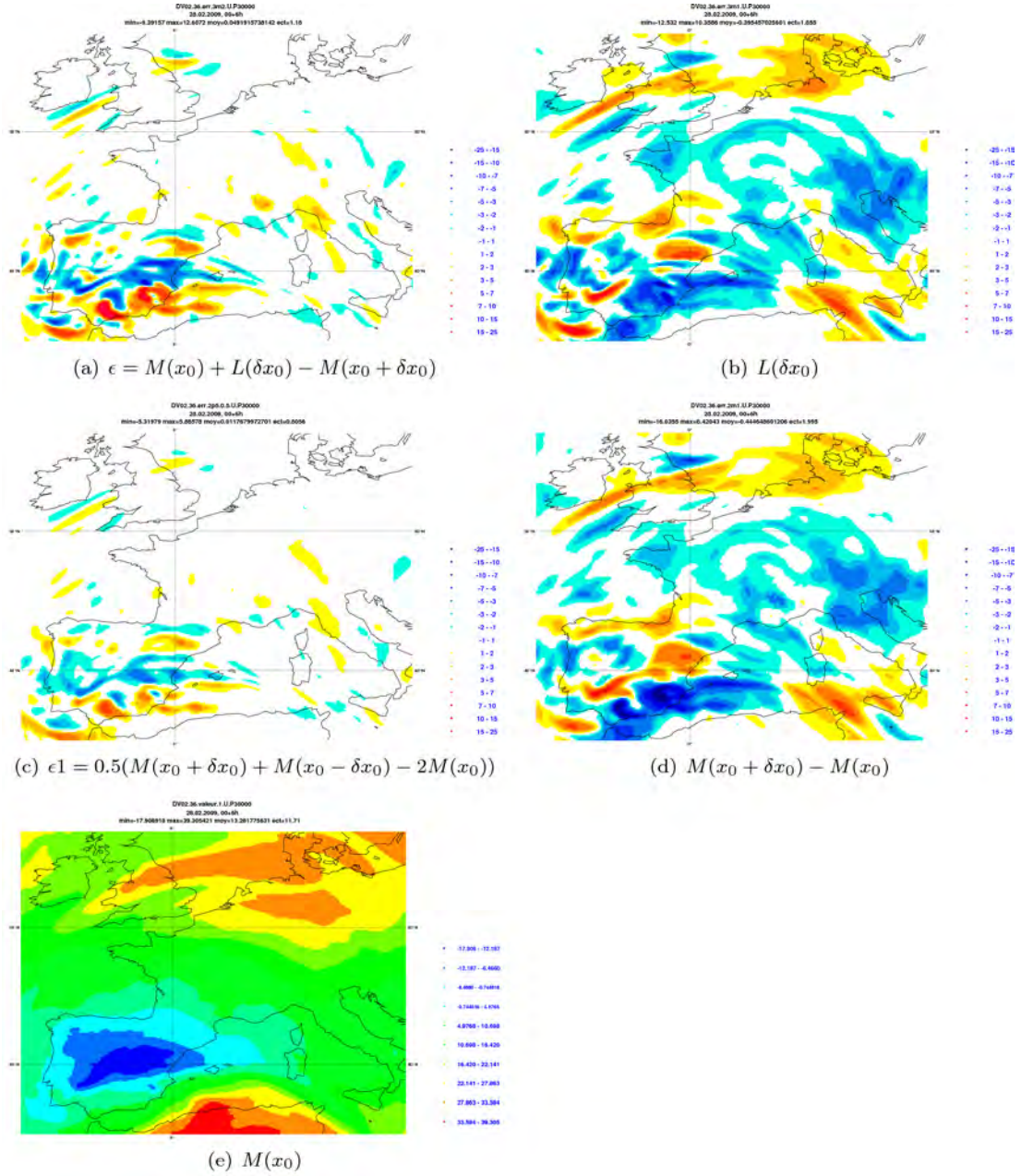


Figure 6: Composante zonale du vent sur le domaine franx01, au niveau 300 hPa, exp. DV, le 28.02.2009, 00+6h, pour $\epsilon = M(x_0) + L(\delta x_0) - M(x_0 + \delta x_0)$ (a), $L(\delta x_0)$ (b), $\epsilon 1 = 0.5(M(x_0 + \delta x_0) + M(x_0 - \delta x_0) - 2M(x_0))$ (c), $M(x_0 + \delta x_0) - M(x_0)$ (d), $M(x_0)$ (e).

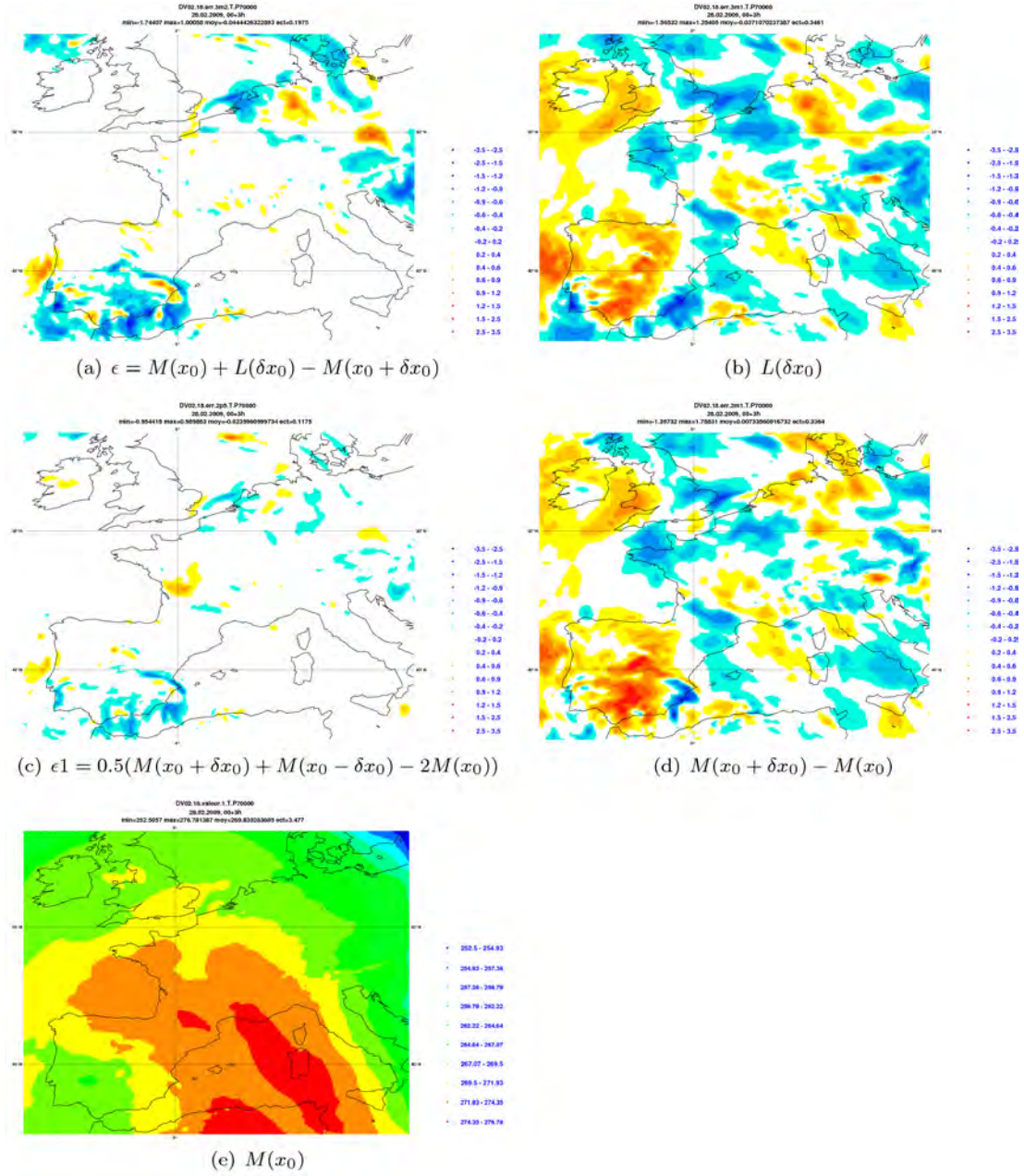


Figure 7: Température sur le domaine franx01, au niveau 700 hPa, exp. DV, le 28.02.2009, 00+3h, pour $\epsilon = M(x_0) + L(\delta x_0) - M(x_0 + \delta x_0)$ (a), $L(\delta x_0)$ (b), $\epsilon_1 = 0.5(M(x_0 + \delta x_0) + M(x_0 - \delta x_0) - 2M(x_0))$ (c), $M(x_0 + \delta x_0) - M(x_0)$ (d), $M(x_0)$ (e).

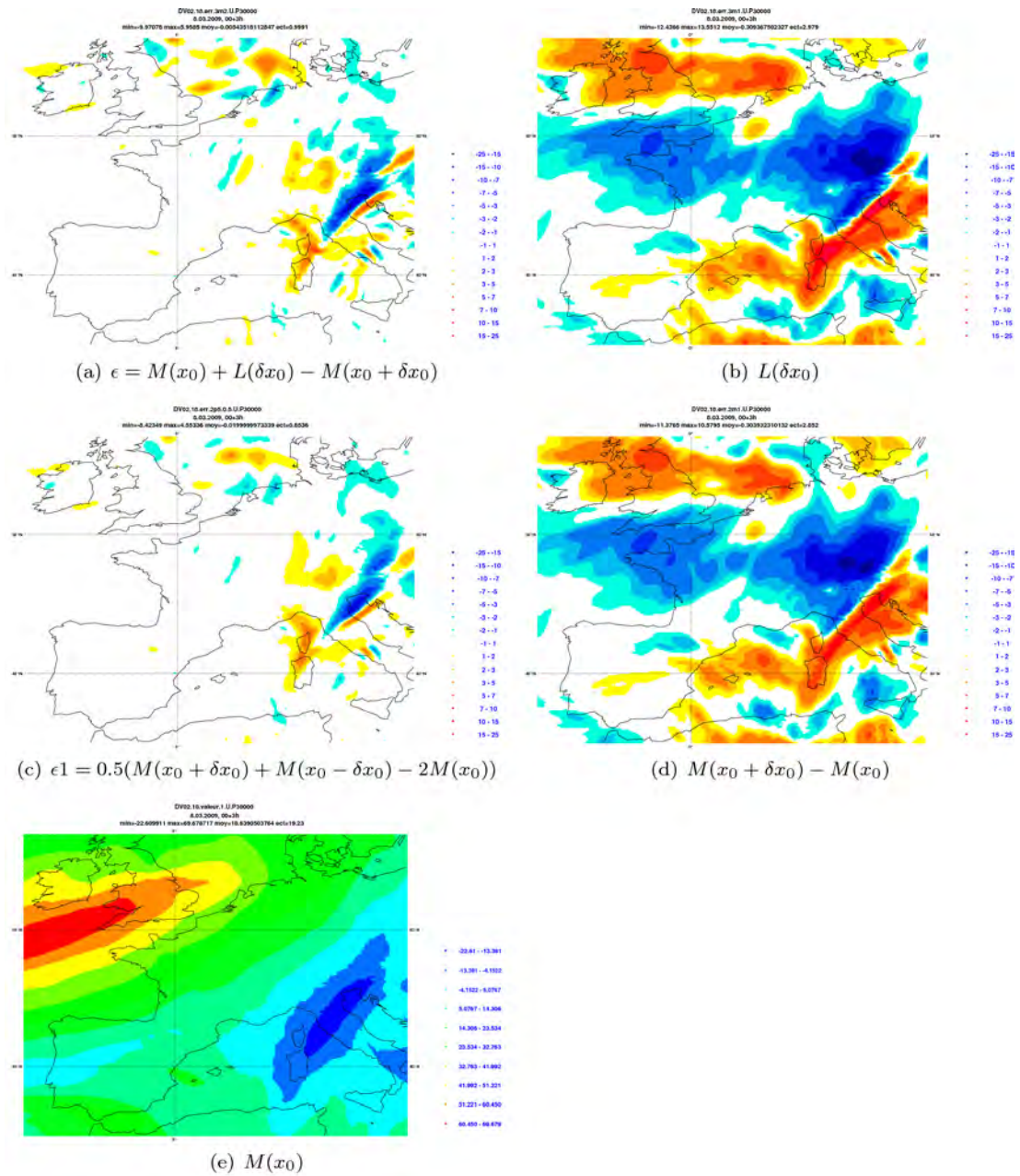


Figure 8: Composante zonale du vent sur le domaine franx01, au niveau 300 hPa, exp. DV, le 8.03.2009, 00+3h, pour $\epsilon = M(x_0) + L(\delta x_0) - M(x_0 + \delta x_0)$ (a), $L(\delta x_0)$ (b), $\epsilon 1 = 0.5(M(x_0 + \delta x_0) + M(x_0 - \delta x_0) - 2M(x_0))$ (c), $M(x_0 + \delta x_0) - M(x_0)$ (d), $M(x_0)$ (e).

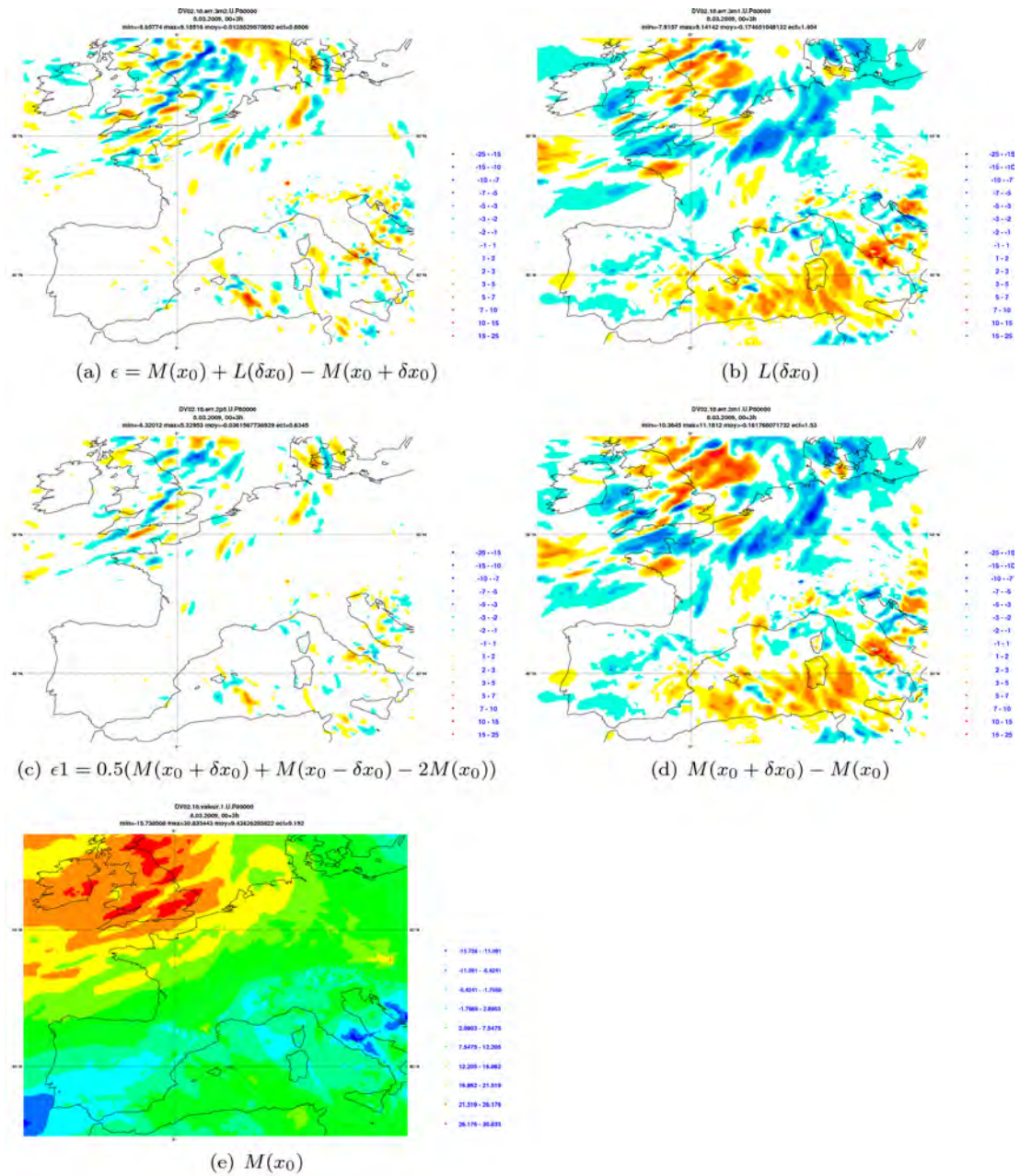


Figure 9: Composante zonale du vent sur le domaine franx01, au niveau 800 hPa, exp. DV, le 8.03.2009, 00+3h, pour $\epsilon = M(x_0) + L(\delta x_0) - M(x_0 + \delta x_0)$ (a), $L(\delta x_0)$ (b), $\epsilon_1 = 0.5(M(x_0 + \delta x_0) + M(x_0 - \delta x_0) - 2M(x_0))$ (c), $M(x_0 + \delta x_0) - M(x_0)$ (d), $M(x_0)$ (e).

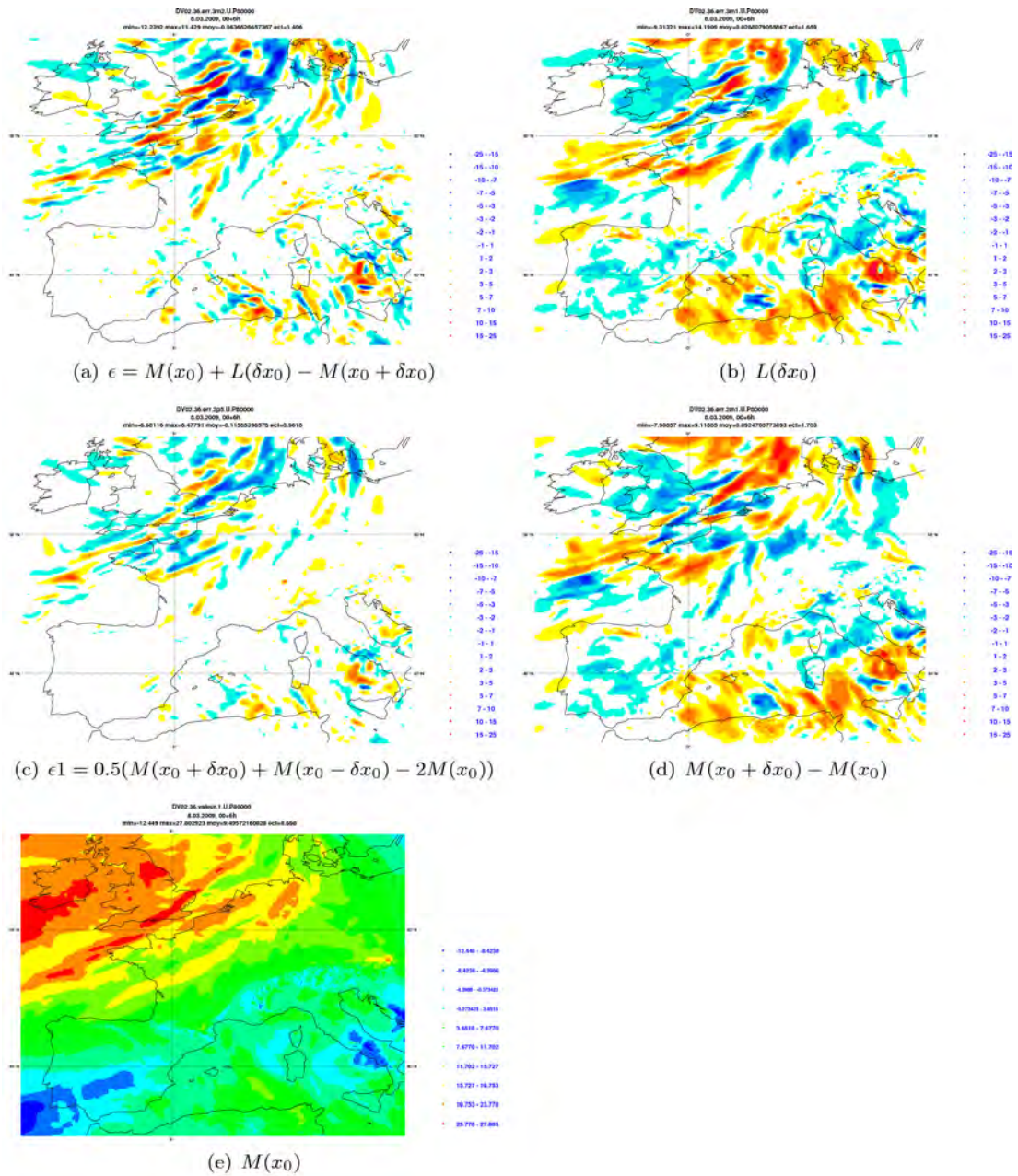


Figure 10: Composante zonale du vent sur le domaine franx01, au niveau 800 hPa, exp. DV, le 8.03.2009, 00+6h, pour $\epsilon = M(x_0) + L(\delta x_0) - M(x_0 + \delta x_0)$ (a), $L(\delta x_0)$ (b), $\epsilon_1 = 0.5(M(x_0 + \delta x_0) + M(x_0 - \delta x_0) - 2M(x_0))$ (c), $M(x_0 + \delta x_0) - M(x_0)$ (d), $M(x_0)$ (e).

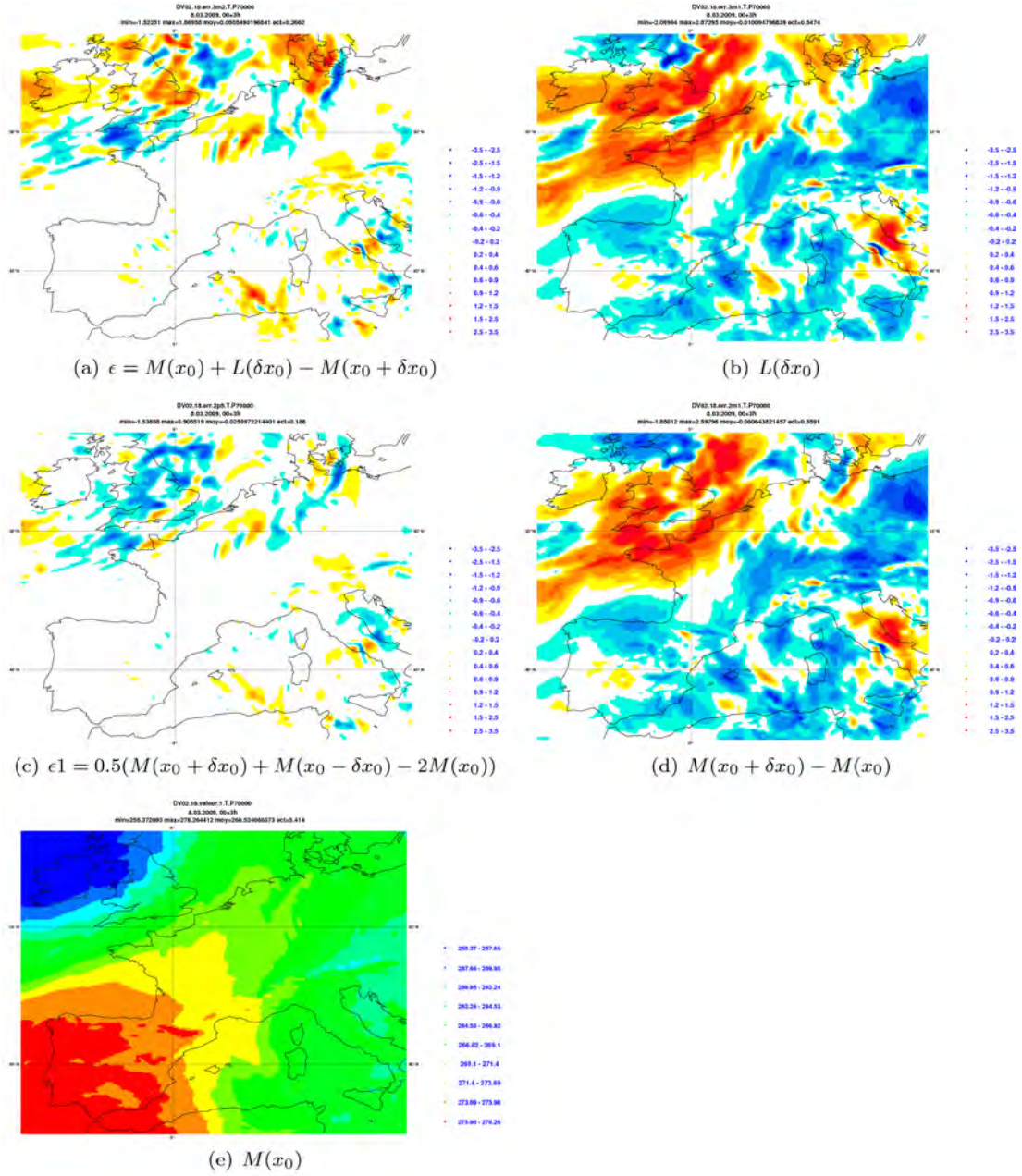


Figure 11: Température sur le domaine franx01, au niveau 700 hPa, exp. DV, le 8.03.2009, 00+3h, pour $\epsilon = M(x_0) + L(\delta x_0) - M(x_0 + \delta x_0)$ (a), $L(\delta x_0)$ (b), $\epsilon 1 = 0.5(M(x_0 + \delta x_0) + M(x_0 - \delta x_0)) - 2M(x_0)$ (c), $M(x_0 + \delta x_0) - M(x_0)$ (d), $M(x_0)$ (e).